

Le modèle de Cucker-Smale : Flocking et apprentissage du réseau d'interaction

Adrien Cotil

12/06/2024



UMR MISTEA, INRAE, Institut Agro, 34060 Montpellier, France.
Email adress : adrien.cotil@inrae.fr.

Objectifs de la thèse

- 1 **Comprendre** l'impact des relations sociales entre les individus sur leurs déplacements en condition d'élevage.

Objectifs de la thèse

- 1 **Comprendre** l'impact des relations sociales entre les individus sur leurs déplacements en condition d'élevage.
- 2 **Concevoir** un algorithme de détection précoce de pathologies chez les animaux d'élevage.

Graphes de proximité

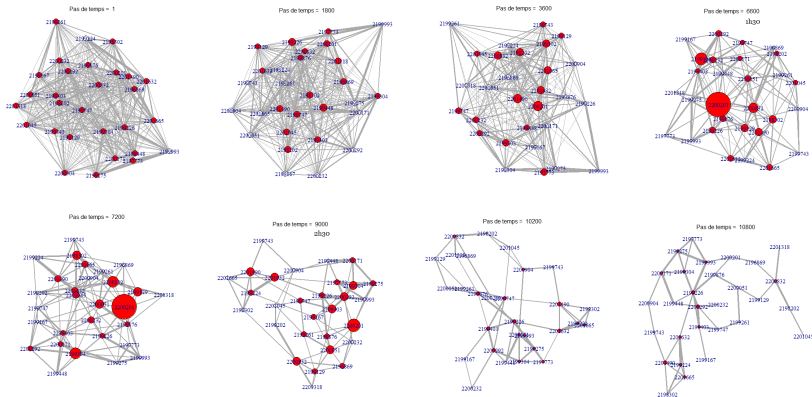


Figure: Temps passé à moins de 2 mètres

- 1 Modélisation du déplacement des animaux
- 2 Phénomène de flocking
- 3 Estimation d'une structure sociale

1 Modélisation du déplacement des animaux

2 Phénomène de flocking

3 Estimation d'une structure sociale

Modèle général du déplacement des animaux

$$x_i(t + h) = x_i(t) + h \times v_i(t),$$



Figure: Tim Whittaker/youtube
(<https://www.youtube.com/embed/2BSI3aKtvXk>)



Figure: Auklet flock, Shumagins
1986 (<https://digitalmedia.fws.gov>)

Modèle général du déplacement des animaux

$$x_i(t + h) = x_i(t) + h \times v_i(t),$$

$$v_i(t + h) = v_i(t) + h \times \text{Forces environnementales}$$



Figure: Tim Whittaker/youtube
(<https://www.youtube.com/embed/2BSl3aKtvXk>)



Figure: Auklet flock, Shumagins
1986 (<https://digitalmedia.fws.gov>)

Modèle général du déplacement des animaux

$$x_i(t + h) = x_i(t) + h \times v_i(t),$$

$$v_i(t + h) = v_i(t) + h \times \text{Forces environnementales} \\ + h \times \text{Forces sociales}$$



Figure: Tim Whittaker/youtube
(<https://www.youtube.com/embed/2BSl3aKtvXk>)



Figure: Auklet flock, Shumagins
1986 (<https://digitalmedia.fws.gov>)

Modèle général du déplacement des animaux

$$x_i(t + h) = x_i(t) + h \times v_i(t),$$

$$v_i(t + h) = v_i(t) + h \times \text{Forces environnementales} \\ + h \times \text{Forces sociales} \\ + \sqrt{h} \times \text{Aléatoires}.$$



Figure: Tim Whittaker/youtube
(<https://www.youtube.com/embed/2BSl3aKtvXk>)



Figure: Auklet flock, Shumagins
1986 (<https://digitalmedia.fws.gov>)

First Principles of Swarming

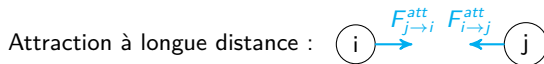
$$x_i(t+h) = x_i(t) + h \times v_i(t), \quad v_i(t+h) = v_i(t) + h \times \sum_j F_{j \rightarrow i}(t),$$

First Principles of Swarming

$$x_i(t+h) = x_i(t) + h \times v_i(t), \quad v_i(t+h) = v_i(t) + h \times \sum_j F_{j \rightarrow i}(t),$$

où

$$F_{j \rightarrow i}(t) = F_{j \rightarrow i}^{att}(t)$$

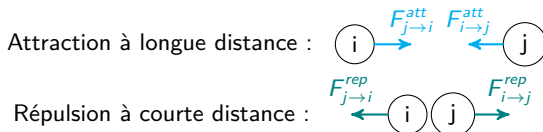


First Principles of Swarming

$$x_i(t+h) = x_i(t) + h \times v_i(t), \quad v_i(t+h) = v_i(t) + h \times \sum_j F_{j \rightarrow i}(t),$$

où

$$F_{j \rightarrow i}(t) = F_{j \rightarrow i}^{att}(t) + F_{j \rightarrow i}^{rep}(t)$$



First Principles of Swarming

$$x_i(t+h) = x_i(t) + h \times v_i(t), \quad v_i(t+h) = v_i(t) + h \times \sum_j F_{j \rightarrow i}(t),$$

où

$$F_{j \rightarrow i}(t) = F_{j \rightarrow i}^{att}(t) + F_{j \rightarrow i}^{rep}(t) + F_{j \rightarrow i}^{ali}(t).$$

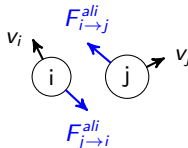
Attraction à longue distance :



Répulsion à courte distance :



Alignement des vitesses :



Simulation FPS

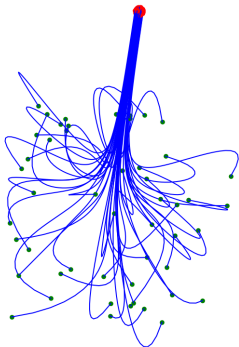


Figure: États initiaux (vert),
trajectoires (bleu), états finaux
(rouge).

Simulation FPS

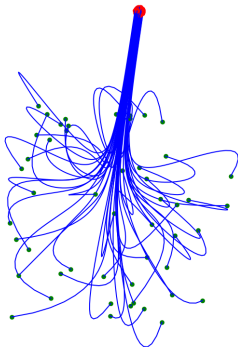


Figure: États initiaux (vert),
trajectoires (bleu), états finaux
(rouge).

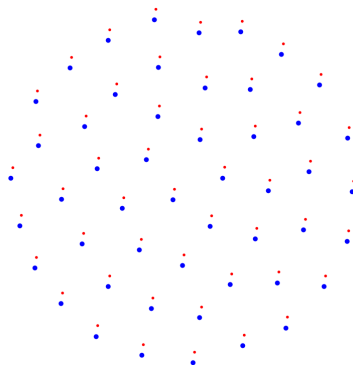


Figure: Focus sur les états finaux ;
positions (bleu), vecteurs vitesses
(rouge).

Simulation FPS avec composante aléatoire

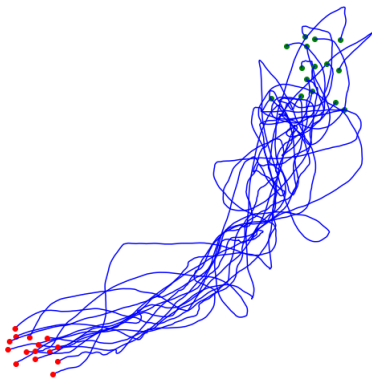


Figure: Initial state (green), trajectories (blue), final state (red).

Modèle de Cucker-Smale

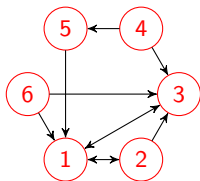
Modèle de Cucker-Smale sur un graphe pondéré :

$$F_{j \rightarrow i}^{ali}(t) = A_{ij} \psi(\|x_j(t) - x_i(t)\|_2)(v_j(t) - v_i(t)).$$

Modèle de Cucker-Smale

Modèle de Cucker-Smale sur un graphe pondéré :

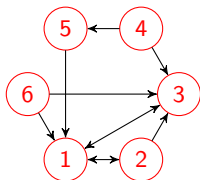
$$F_{j \rightarrow i}^{ali}(t) = A_{ij} \psi(\|x_j(t) - x_i(t)\|_2)(v_j(t) - v_i(t)).$$



Modèle de Cucker-Smale

Modèle de Cucker-Smale sur un graphe pondéré :

$$F_{j \rightarrow i}^{ali}(t) = A_{ij} \psi(\|x_j(t) - x_i(t)\|_2)(v_j(t) - v_i(t)).$$



$$\begin{pmatrix} 0 & 1 & 1 & 0 & 0 & 0 \\ 1 & 0 & 1 & 0 & 0 & 0 \\ 1 & 0 & 0 & 0 & 0 & 0 \\ 0 & 0 & 1 & 0 & 1 & 0 \\ 1 & 0 & 0 & 0 & 0 & 0 \\ 1 & 0 & 1 & 0 & 0 & 0 \end{pmatrix}$$

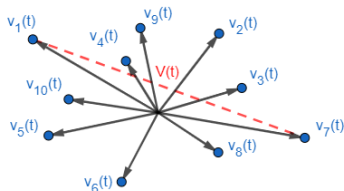
- 1 Modélisation du déplacement des animaux
- 2 Phénomène de flocking
- 3 Estimation d'une structure sociale

Phénomène de Flocking

$$V(t) = \max_{i,j} \|v_i(t) - v_j(t)\|_2$$

Phénomène de Flocking

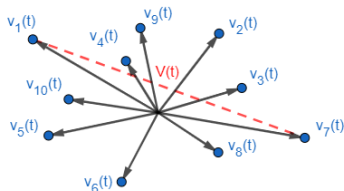
$$V(t) = \max_{i,j} \|v_i(t) - v_j(t)\|_2$$



Phénomène de Flocking

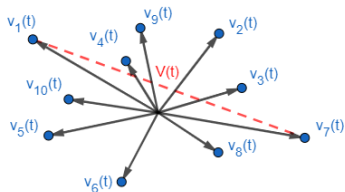
$$V(t) = \max_{i,j} \|v_i(t) - v_j(t)\|_2$$

$$X(t) = \max_{i,j} \|x_i(t) - x_j(t)\|_2$$

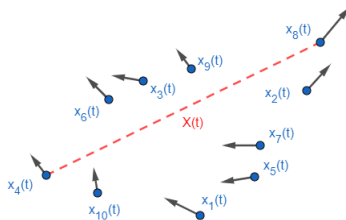


Phénomène de Flocking

$$V(t) = \max_{i,j} \|v_i(t) - v_j(t)\|_2$$

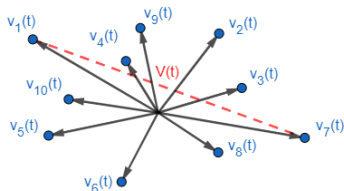


$$X(t) = \max_{i,j} \|x_i(t) - x_j(t)\|_2$$

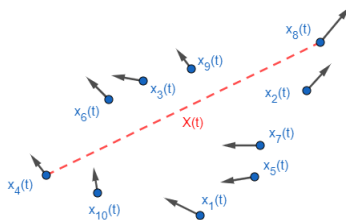


Phénomène de Flocking

$$V(t) = \max_{i,j} \|v_i(t) - v_j(t)\|_2$$



$$X(t) = \max_{i,j} \|x_i(t) - x_j(t)\|_2$$



Définition

On dit qu'il y a flocking si $V(t)$ tend vers 0 et $X(t)$ est borné.

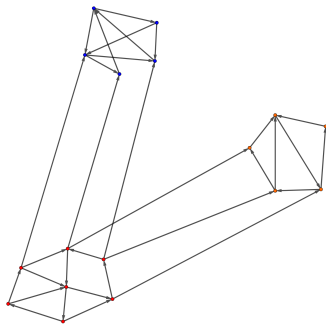
Matrice d'interaction



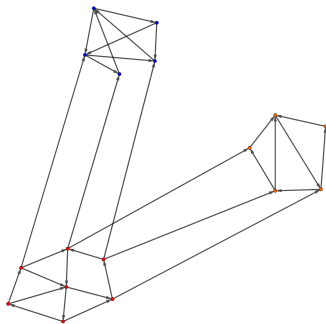
Matrice d'interaction



Matrice d'interaction



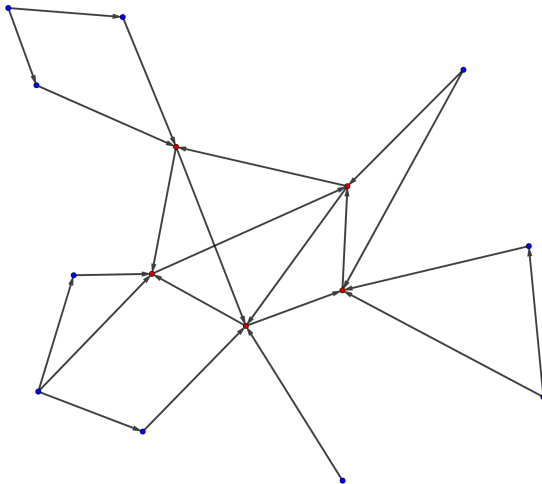
Matrice d'interaction



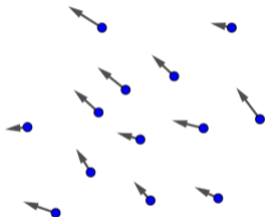
Définition

A est connecté si pour toute paire d'individu (i, j) il existe au moins un individu k tel que $i \rightarrow k$ et $j \rightarrow k$.

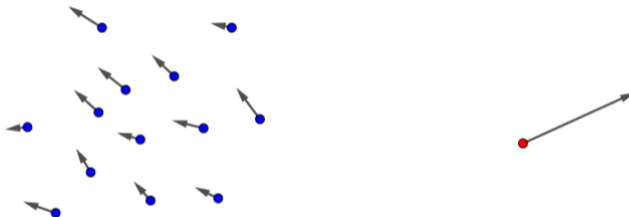
Matrice d'interaction



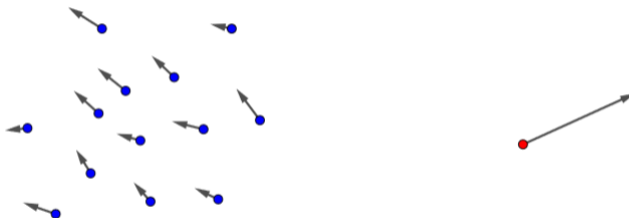
Fonction de communication



Fonction de communication



Fonction de communication



"Il y a flocking si $V(0)$ et $X(0)$ ne sont pas tous les deux grands en même temps"

Condition de Flocking

Théorème

Si A est (fortement) connecté alors il y a flocking si

$$V(0) < C_A \int_{X(0)}^{+\infty} \psi(r) dr.$$

Condition de Flocking

Théorème

Si A est (fortement) connecté alors il y a flocking si

$$V(0) < C_A \int_{X(0)}^{+\infty} \psi(r) dr.$$

Si $\int^{+\infty} \psi(r) dr = +\infty \longrightarrow$ flocking pour toutes cond.ini.

Condition de Flocking

Théorème

Si A est (fortement) connecté alors il y a flocking si

$$V(0) < C_A \int_{X(0)}^{+\infty} \psi(r) dr.$$

Si $\int^{+\infty} \psi(r) dr = +\infty \longrightarrow$ flocking pour toutes cond.ini.

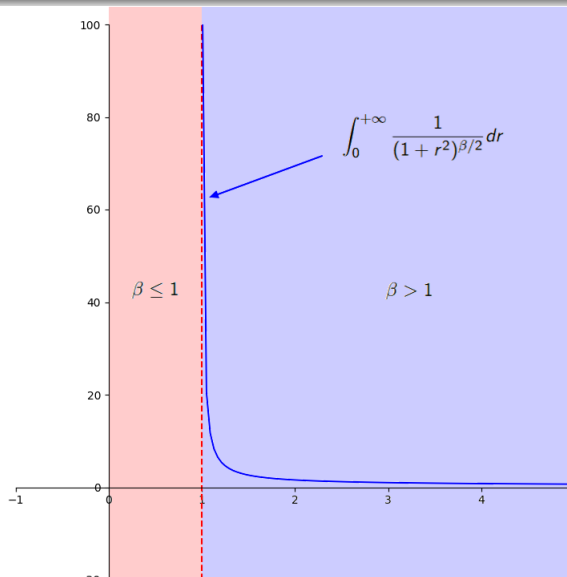
Si $\int^{+\infty} \psi(r) dr < +\infty \longrightarrow$ non flocking pour certaines cond.ini.

Transition de phase

$$\psi(r) = \frac{1}{(1 + r^2)^{\beta/2}}$$

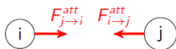
Transition de phase

$$\psi(r) = \frac{1}{(1+r^2)^{\beta/2}}$$

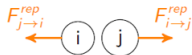


Bilan

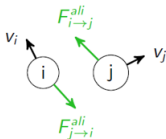
Attraction



Répulsion

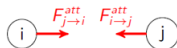


Alignement

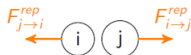


Bilan

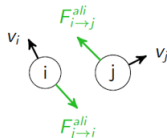
Attraction



Répulsion



Alignement

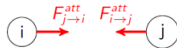


Cucker-Smale

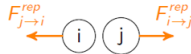
$$F_{j \rightarrow i}^{ali}(t) = A_{ij} \psi(\|x_j(t) - x_i(t)\|_2) (v_j(t) - v_i(t)).$$

Bilan

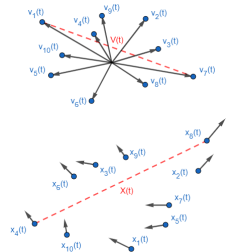
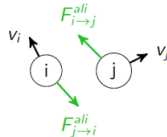
Attraction



Répulsion



Alignement

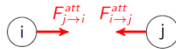


Cucker-Smale

$$F_{j \rightarrow i}^{ali}(t) = A_{ij} \psi(\|x_j(t) - x_i(t)\|_2) (v_j(t) - v_i(t)).$$

Bilan

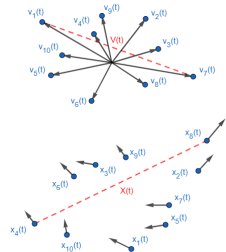
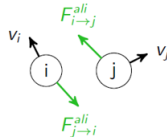
Attraction



Répulsion



Alignement



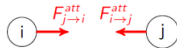
Il y a flocking si:

Cucker-Smale

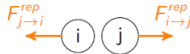
$$F_{j \rightarrow i}^{ali}(t) = A_{ij} \psi(\|x_j(t) - x_i(t)\|_2) (v_j(t) - v_i(t)).$$

Bilan

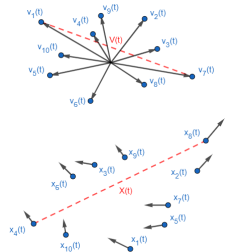
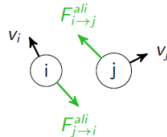
Attraction



Répulsion



Alignement



Il y a flocking si:

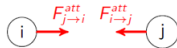
- La matrice A est connectée.

Cucker-Smale

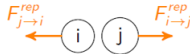
$$F_{j \rightarrow i}^{ali}(t) = A_{ij} \psi(\|x_j(t) - x_i(t)\|_2) (v_j(t) - v_i(t)).$$

Bilan

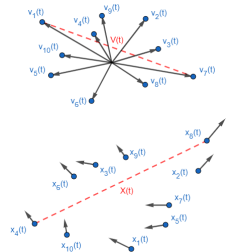
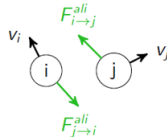
Attraction



Répulsion



Alignement



Il y a flocking si:

- La matrice A est connectée.
- $X(0)$ et $V(0)$ ne sont pas grands en même temps.

Cucker-Smale

$$F_{j \rightarrow i}^{ali}(t) = A_{ij} \psi(\|x_j(t) - x_i(t)\|_2) (v_j(t) - v_i(t)).$$

- 1 Modélisation du déplacement des animaux
- 2 Phénomène de flocking
- 3 Estimation d'une structure sociale

Inférence de la matrice d'interaction

Modèle de Cucker-Smale stochastique sur un graphe pondéré :

$$\begin{aligned}x_i(t+h) &= x_i(t) + h \times v_i(t), \\v_i(t+h) &= v_i(t) + h \times \sum_{j=1}^N A_{ij}(v_j(t) - v_i(t)) + \sqrt{h} \times \text{Aléatoire}.\end{aligned}$$

P.Cattiaux, F.Delebecque, L.Pédèches, "Stochastic Cucker-Smale models: old and new.", *The Annals of Applied Probability*.

Inférence de la matrice d'interaction

Modèle de Cucker-Smale stochastique sur un graphe pondéré :

$$\begin{aligned}x_i(t+h) &= x_i(t) + h \times v_i(t), \\v_i(t+h) &= v_i(t) + h \times \sum_{j=1}^N A_{ij}(v_j(t) - v_i(t)) + \sqrt{h} \times \text{Aléatoire}.\end{aligned}$$

→ **Inférence de la matrice A = Régression linéaire.**

P.Cattiaux, F.Delebecque, L.Pédèches, "Stochastic Cucker-Smale models: old and new.", *The Annals of Applied Probability*.

Lacunes théoriques

- ❶ Perte d'information due au flocking.

Lacunes théoriques

- ❶ Perte d'information due au flocking.
- ❷ Problème d'identifiabilité.

Lacunes théoriques

- ❶ Perte d'information due au flocking.
- ❷ Problème d'identifiabilité.
- ❸ Surparamétrisation (N^2 paramètres).

Lacunes théoriques

- ❶ Perte d'information due au flocking.
- ❷ Problème d'identifiabilité.
- ❸ Surparamétrisation (N^2 paramètres).

Hypothèse : Les individus sont organisés en groupes de telle sorte que deux individus d'un même groupe interagissent avec les autres "de la même manière".

Hypothèse des classes sociales

On pose :

Hypothèse des classes sociales

On pose :

- K le nombre de classes.

Hypothèse des classes sociales

On pose :

- K le nombre de classes.
- $z_i \in \{1, \dots, K\}$ la classe de l'individu i .

Hypothèse des classes sociales

On pose :

- K le nombre de classes.
- $z_i \in \{1, \dots, K\}$ la classe de l'individu i .
- B_{kl} la force d'alignement entre un individu de la classe k et un de la classe l .

Hypothèse des classes sociales

On pose :

- K le nombre de classes.
- $z_i \in \{1, \dots, K\}$ la classe de l'individu i .
- B_{kl} la force d'alignement entre un individu de la classe k et un de la classe l .

On suppose que : $A_{ij} = B_{z_i z_j}$.

Hypothèse des classes sociales

On pose :

- K le nombre de classes.
- $z_i \in \{1, \dots, K\}$ la classe de l'individu i .
- B_{kl} la force d'alignement entre un individu de la classe k et un de la classe l .

On suppose que : $A_{ij} = B_{z_i z_j}$.

Exemple : followers, leaders, exploreurs.

Hypothèse des classes sociales

On pose :

- K le nombre de classes.
- $z_i \in \{1, \dots, K\}$ la classe de l'individu i .
- B_{kl} la force d'alignement entre un individu de la classe k et un de la classe l .

On suppose que : $A_{ij} = B_{z_i z_j}$.

Exemple : followers, leaders, exploreurs.

$$B = \begin{pmatrix} 1 & 10 & 0 \\ 0 & 1 & 1 \\ 0 & 0 & 1 \end{pmatrix}$$

Hypothèse des classes sociales

On pose :

- K le nombre de classes.
- $z_i \in \{1, \dots, K\}$ la classe de l'individu i .
- B_{kl} la force d'alignement entre un individu de la classe k et un de la classe l .

On suppose que : $A_{ij} = B_{z_i z_j}$.

Exemple : followers, leaders, exploreurs.

$$B = \begin{pmatrix} 1 & 10 & 0 \\ 0 & 1 & 1 \\ 0 & 0 & 1 \end{pmatrix} \longrightarrow A = \begin{pmatrix} 1 & 1 & 1 & 1 & 10 & 10 & 0 & 0 \\ 1 & 1 & 1 & 1 & 10 & 10 & 0 & 0 \\ 1 & 1 & 1 & 1 & 10 & 10 & 0 & 0 \\ 1 & 1 & 1 & 1 & 10 & 10 & 0 & 0 \\ 0 & 0 & 0 & 0 & 1 & 1 & 1 & 1 \\ 0 & 0 & 0 & 0 & 1 & 1 & 1 & 1 \\ 0 & 0 & 0 & 0 & 0 & 0 & 1 & 1 \\ 0 & 0 & 0 & 0 & 0 & 0 & 1 & 1 \end{pmatrix}$$

Idée de l'algorithme

- Classes des individus connues \rightarrow Calcul de B facile (régression linéaire).

Idée de l'algorithme

- Classes des individus connues \rightarrow Calcul de B facile (régression linéaire).
- B connue \rightarrow Calcul des classes des individus facile.

Idée de l'algorithme

- Classes des individus connues \rightarrow Calcul de B facile (régression linéaire).
- B connue \rightarrow Calcul des classes des individus facile.

Algorithm Kmeans-CSBM

Idée de l'algorithme

- Classes des individus connues \rightarrow Calcul de B facile (régression linéaire).
- B connue \rightarrow Calcul des classes des individus facile.

Algorithm Kmeans-CSBM

Require: Labellisation initiale $z^{(0)}$.

Idée de l'algorithme

- Classes des individus connues \rightarrow Calcul de B facile (régression linéaire).
- B connue \rightarrow Calcul des classes des individus facile.

Algorithm Kmeans-CSBM

Require: Labellisation initiale $z^{(0)}$.
while $z^{(n)} \neq z^{(n-1)}$ **do**

Idée de l'algorithme

- Classes des individus connues \rightarrow Calcul de B facile (régression linéaire).
- B connue \rightarrow Calcul des classes des individus facile.

Algorithm Kmeans-CSBM

Require: Labellisation initiale $z^{(0)}$.

while $z^{(n)} \neq z^{(n-1)}$ **do**

1. Calcul de $B^{(n)}$ en fonction de $z^{(n)}$.

Idée de l'algorithme

- Classes des individus connues \rightarrow Calcul de B facile (régression linéaire).
- B connue \rightarrow Calcul des classes des individus facile.

Algorithm Kmeans-CSBM

Require: Labellisation initiale $z^{(0)}$.

while $z^{(n)} \neq z^{(n-1)}$ **do**

1. Calcul de $B^{(n)}$ en fonction de $z^{(n)}$.
2. Calcul de $z^{(n+1)}$ en fonction de $B^{(n)}$.

Idée de l'algorithme

- Classes des individus connues \rightarrow Calcul de B facile (régression linéaire).
- B connue \rightarrow Calcul des classes des individus facile.

Algorithm Kmeans-CSBM

Require: Labellisation initiale $z^{(0)}$.

while $z^{(n)} \neq z^{(n-1)}$ **do**

1. Calcul de $B^{(n)}$ en fonction de $z^{(n)}$.
2. Calcul de $z^{(n+1)}$ en fonction de $B^{(n)}$.

end while

Idée de l'algorithme

- Classes des individus connues \rightarrow Calcul de B facile (régression linéaire).
- B connue \rightarrow Calcul des classes des individus facile.

Algorithm Kmeans-CSBM

Require: Labellisation initiale $z^{(0)}$.

while $z^{(n)} \neq z^{(n-1)}$ **do**

1. Calcul de $B^{(n)}$ en fonction de $z^{(n)}$.
2. Calcul de $z^{(n+1)}$ en fonction de $B^{(n)}$.

end while

return la labellisation z et la matrice B .
